



Environment  
Canada

Environnement  
Canada

Canada

# Histoire d'une inconsistance

**Claude Girard**  
**André Plante**

**10 avril 2015**

# L'onde de 'Schär'

Un problème théorique linéaire dont la solution stationnaire analytique existe

Un profile de vent:

$$U = 10 \text{ m s}^{-1}$$

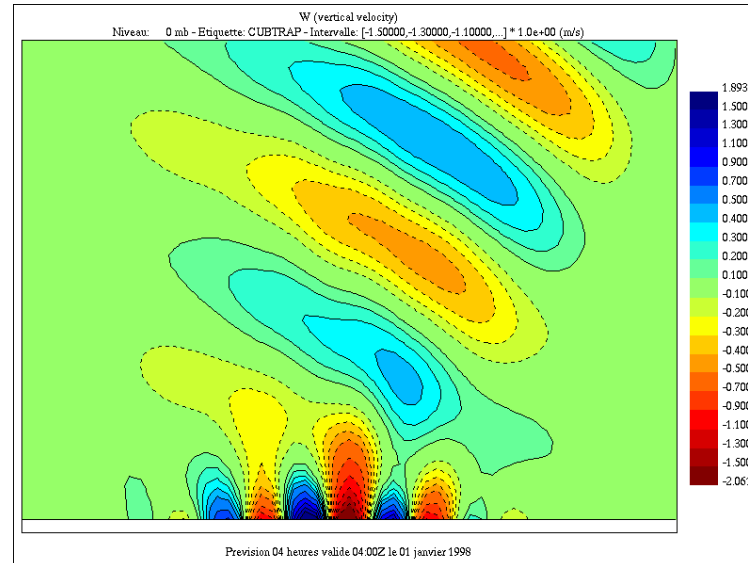
Un profile de température:

$$N = 0.01 \text{ s}^{-1}; \quad T_S = 288 \text{ K}$$

Une montagne,  $z_S$ ,  
deux nombres non-dimensionnels:

$$N z_0 / U; \quad N a / U$$

w(vitesse verticale)



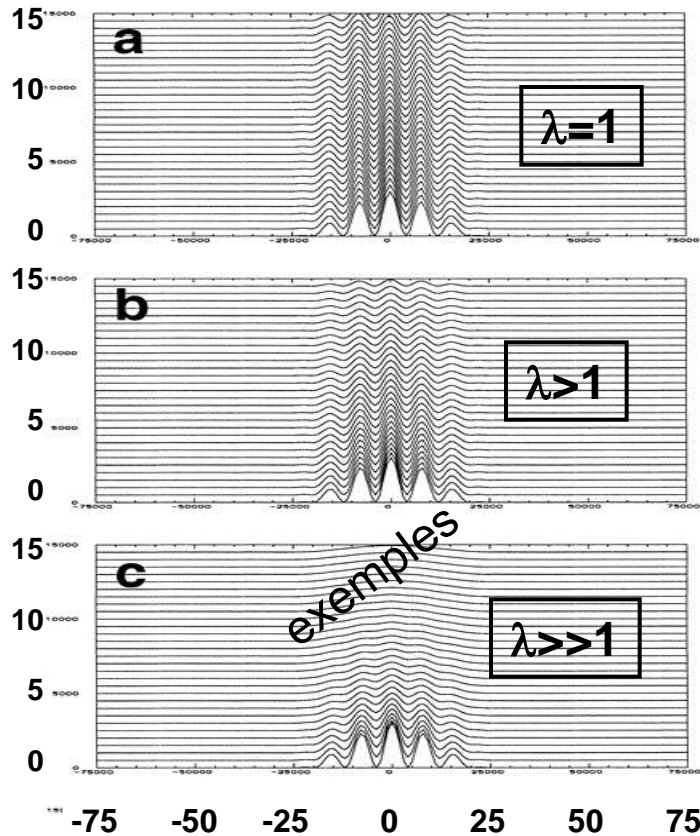
intervalles  
de contours:  
~10 cm/s

A New Terrain-Following Vertical Coordinate Formulation for  
Atmospheric Prediction Models

Schär et al. MWR 2002



# GEM en mode théorique: Courant d'air sur montagne idéalisée en deux dimensions: plan x-z



$\lambda$ : facteur d'aplatissement!

Montage pour l'onde de Schär

$$H = 19.5\text{km}; \quad \Delta z = 300\text{m}; \quad Nk = 65$$

$$L = 200\text{km}; \quad \Delta x = 500\text{m}; \quad Ni = 401$$

$$z_s = z_0 \exp\left[-\left(\frac{x}{a}\right)^2\right] \cos^2\left(\frac{\pi x}{l_x}\right)$$

$$z_0 = 250\text{m}$$

$$a = 5\text{ km}$$

$$l_x = 4\text{ km} = 8\Delta x$$

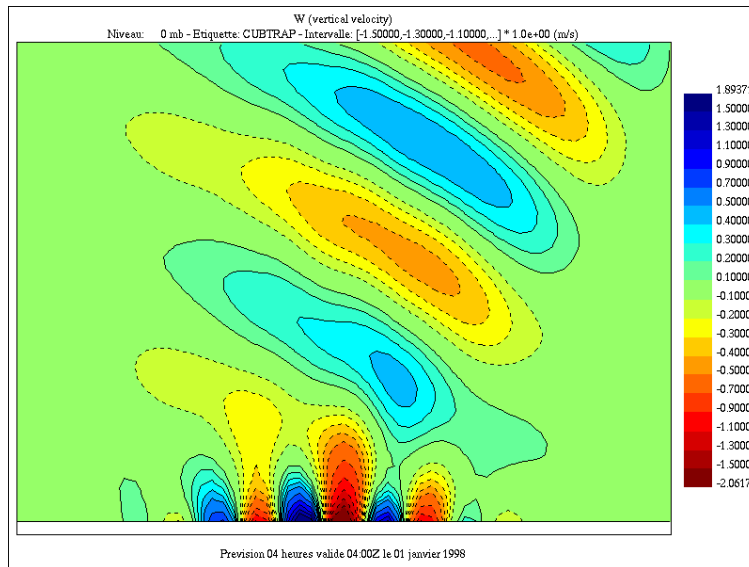
**N.B.**  $z_0 < \Delta z$  : problème linéaire



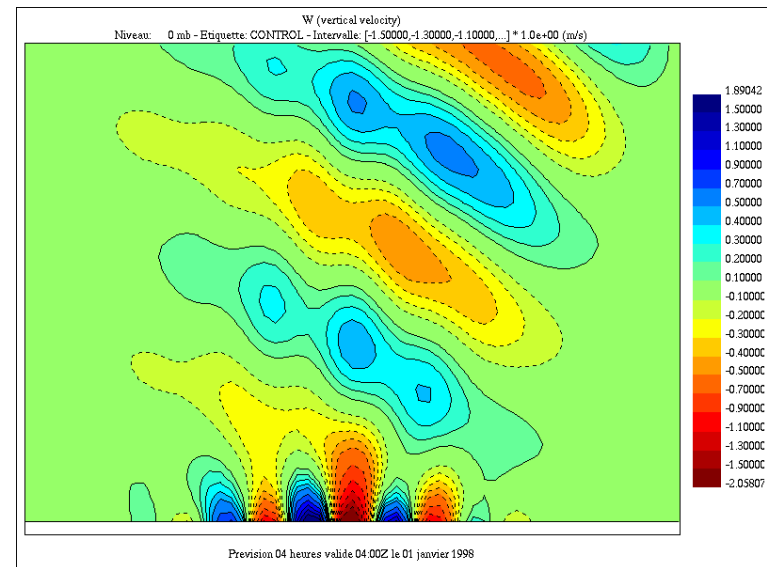
# L'onde de 'Schär'

## L'histoire

Solution correcte  
depuis ~un an: fin 2013



Solution erronée (bosselée)  
jusqu'à fin 2013

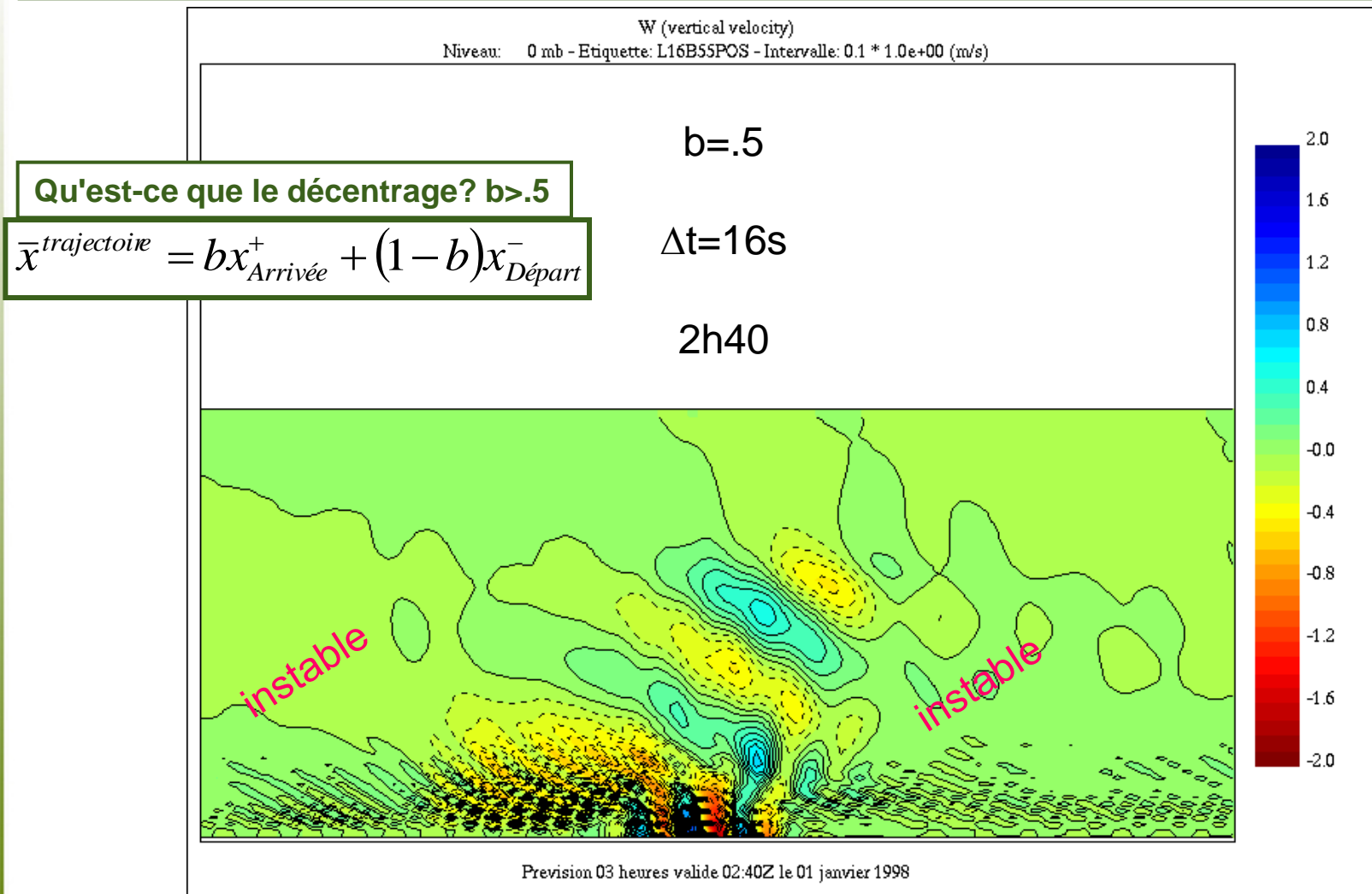


Une intégration de 4h avec 'éponge' près du toit, à l'entrée et à la sortie du domaine pour prévenir la réflexion d'ondes



# L'onde de 'Schär'

La préhistoire : instable sans décentrage jusqu'en 2010



# L'onde de 'Schär'

## Impact de $\lambda$ et $\Delta t$

la préhistoire

$\lambda=1$

$\lambda=10$

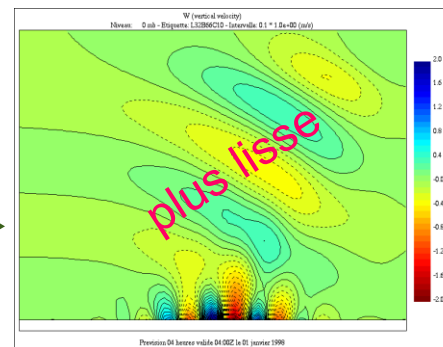
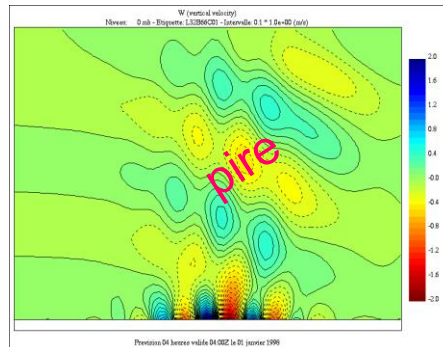
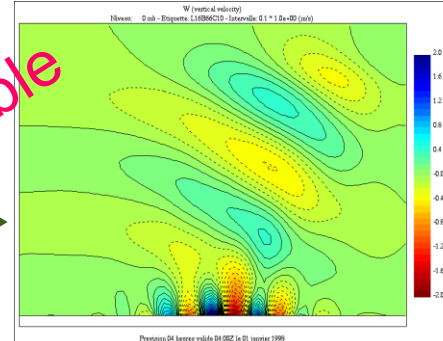
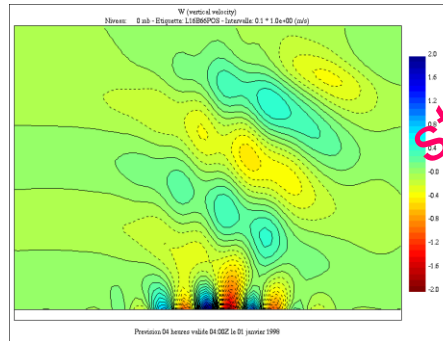
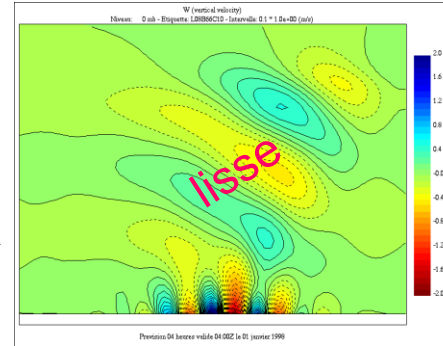
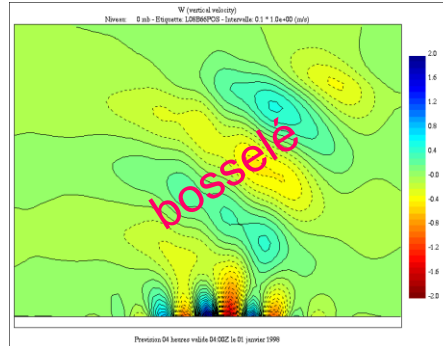
**b=.6**  
4h

avec  
décentrage

$\Delta t=8s$

$\Delta t=16s$

$\Delta t=32s$



April

**$\lambda=Rcoef$**



Environment  
Canada

Environnen  
Canada

$\lambda$ : aplatissement de la coordonnée

Canada

$$\frac{\partial \ln \pi}{\partial z} = -\frac{g}{RT}$$

la préhistoire

L'onde de 'Schär'

stabilité obtenue en 2010

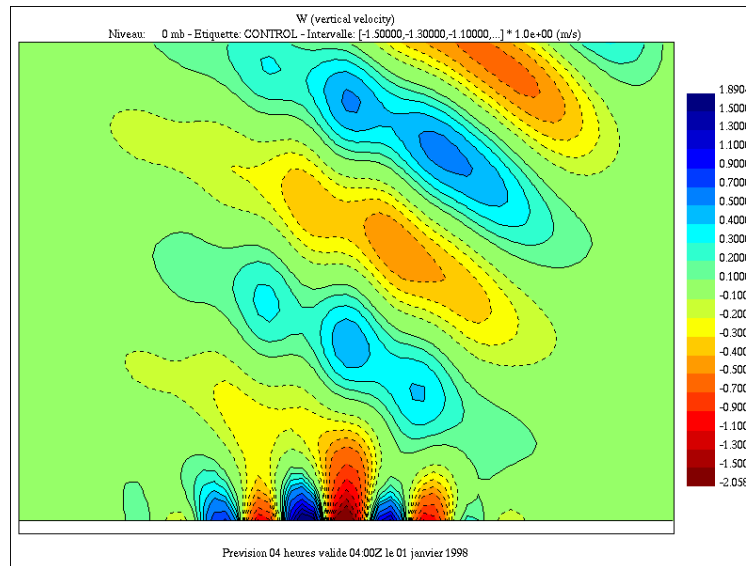
$$\frac{\partial \pi}{\partial z} = -g\rho = -g \frac{p}{RT}$$

$$\frac{\partial \ln \pi}{\partial z} = -\frac{p}{\pi} \frac{g}{RT}$$

**b=.5**  
 $\Delta t=32s$   
 $\lambda=1$

sans  
décentrage

avec changement de définition de  $\pi$



Bosses sans doute dues à une **inconsistance** reliée à l'advection semi-Lagrangienne



# L'onde de 'Schär'

Fin de la préhistoire

---

avant 2010  
solution instable sans décentrage  
solution stable avec décentrage mais erronée

depuis 2010  
avec nouvelle définition de  $\pi$   
solution stable sans décentrage mais toujours incorrecte

l'hypothèse d'une inconsistance numérique  
comme cause du 'bosselage'  
devient très plausible



# Équation thermodynamique et ondes de gravité internes

$$\frac{d \ln T}{dt} - \kappa \frac{d \ln p}{dt} = 0$$

Commence l'histoire

$T_*$  constant

$$\frac{d \ln p}{dt} = \frac{\omega}{p}$$

$$\frac{d}{dt} \ln \left( \frac{T}{T_*} \right) - \kappa \frac{\omega}{p} = 0$$

$$\ln \left( \frac{T}{T_*} \right) = \ln \left( 1 + \frac{T'}{T_*} \right) \approx \frac{T'}{T_*}$$

$$\frac{\omega}{p} \approx -\frac{g \rho w}{p} = -\frac{g w}{RT}$$

$$\frac{d}{dt} \left( \frac{T'}{T_*} \right) + \frac{g \kappa w}{RT} \approx 0$$

$$\frac{d}{dt} \left( g \frac{T'}{T_*} \right) + \frac{g^2 w}{c_p T} \approx 0$$

$$\frac{db}{dt} + N^2 w \approx 0$$

$$b = g \frac{T'}{T_*} \quad \text{: bouée}$$

$$N^2 = \frac{g^2}{c_p T} \quad \text{: fréquence de Brunt-Väisälä au carré}$$

relation classique en coordonnée-z



# Équation thermodynamique en coordonnée- $\zeta$ de GEM

L'histoire

$$\frac{d}{dt} \left[ \ln \left( \frac{T}{T_*} \right) - \kappa(Bs + q) \right] - \kappa \dot{\zeta} = 0$$

(prononcez zèta ou dzèta)

$T_*$  constant

$$\frac{d \ln T}{dt} - \kappa \frac{d \ln p}{dt} = 0$$

$$\frac{d}{dt} \left[ \ln \left( \frac{T}{T_*} \right) - \kappa(Bs + q) \right] - \kappa \dot{\zeta} = 0$$

$$\frac{d}{dt} \left( \frac{T'}{T_*} - \kappa Bs \right) - \kappa \dot{\zeta} \approx 0$$

$$\ln p = \ln \pi + q \Leftrightarrow q = \ln(p / \pi)$$

$$\ln \pi = \zeta + Bs$$

$$\ln \pi = A + Bs$$

$$s = \ln(\pi_s / p_{ref})$$

$$B = \left( \frac{\zeta - \zeta_T}{\zeta_S - \zeta_T} \right)^\lambda$$

$$\frac{d}{dt} \left( g \frac{T'}{T_*} \right) + N^2 w \approx 0$$

$$\frac{N^2}{g} w \approx -\kappa \left( \dot{\zeta} + \frac{dBs}{dt} \right)$$

↑  
un  
terme

↑  
deux  
termes

un beau mélange  
en coordonnée- $\zeta$



## Pourquoi une erreur? D'où provient-elle?

$$\frac{d}{dt} \left[ \ln \left( \frac{T}{T_*} \right) - \kappa(Bs + q) \right] - \kappa \dot{\zeta} = 0$$

Il y a 3 termes!

L'histoire

Dans le cas présent, la température varie beaucoup à la verticale:

$$U = 10 \text{ ms}^{-1}; \quad N = 0.01 \text{ s}^{-1}; \quad T_{\max} = 288 \text{ K}; \quad T_{\min} = 143 \text{ K}$$

a) Il y a la possibilité d'avoir un atmosphère isotherme:

$$\text{avec } U = 18.71 \text{ ms}^{-1}; \quad N = 0.01871 \text{ s}^{-1}; \quad T_{\max} = T_{\min} = T_* = 273.16 \text{ K}$$

et en effet, puisque  $\frac{T'}{T_*} \ll 1$ , l'erreur disparaît

b) On a vu, aussi: avec  $\lambda = 10 \gg 1$ , l'erreur disparaît même si que la température varie beaucoup

$$B = \left( \frac{\zeta - \zeta_T}{\zeta_S - \zeta_T} \right)^\lambda$$

c) Une troisième possibilité: une advection verticale Eulérienne

$$\frac{d}{dt} \left[ \ln \left( \frac{T}{T_0} \right) - \kappa(Bs + q) \right] - \kappa \dot{\zeta} + \frac{d}{dt} \ln \left( \frac{T_0}{T_*} \right) = 0$$

$$\frac{d}{dt} \left[ \ln \left( \frac{T}{T_0} \right) - \kappa(Bs + q) \right] - \kappa \dot{\zeta} + \dot{\zeta} \frac{\partial}{\partial \zeta} \ln \left( \frac{T_0}{T_*} \right) = 0$$

$T_0$ : température initiale

Inconsistance SLI ?

# Discrétisation SLI Semi-Lagrangienne Implicite

L'histoire

$$\frac{d}{dt} \left[ \ln \left( \frac{T}{T_*} \right) - \kappa(Bs + q) \right] - \kappa \dot{\zeta} = 0$$

Il n'y a vraiment  
que 2 termes!

$$\frac{d\Gamma}{dt} - \kappa \dot{\zeta} = 0$$

une  
différence

une  
moyenne

$$\frac{\Gamma_A^+ - \Gamma_D^-}{\Delta t} - \kappa \frac{\dot{\zeta}_A^+ + \dot{\zeta}_D^-}{2} = 0$$

+     *futur*  
 A     Arrivée  
 -  
 D     *passé*  
       Départ



## Comprendre la discrétisation SLI

L'histoire

$$\boxed{\frac{d\Gamma}{dt} - \kappa \dot{\zeta} = 0} \quad \longrightarrow \quad \boxed{\frac{\Gamma_A^+ - \Gamma_D^-}{\Delta t} - \kappa \frac{\dot{\zeta}_A^+ + \dot{\zeta}_D^-}{2} = 0}$$

$$\begin{aligned} \Gamma_D^- &= \Gamma^-(\zeta_D) = \Gamma^-(\zeta_A - \Delta t \dot{\zeta}) \quad \text{oubliant l'horizontale} \\ &= \Gamma^-(\zeta_A) - \Delta t \dot{\zeta} \frac{\partial \Gamma}{\partial \zeta} + \dots \end{aligned}$$

$$\frac{\Gamma_A^+ - \Gamma_A^-}{\Delta t} + \left( \dot{\zeta} \right) \frac{\partial \Gamma}{\partial \zeta} + \dots - \kappa \frac{\dot{\zeta}_A^+ + \dot{\zeta}_D^-}{2} = 0$$

Calcul des trajectoires:

$$\boxed{\frac{d\zeta}{dt} = \dot{\zeta}}$$

Règle du point milieu

$$\begin{aligned} \frac{\zeta_A - \zeta_M}{\Delta t/2} &= \frac{\dot{\zeta}_M^+ + \dot{\zeta}_M^-}{2} = \frac{\zeta_A - \zeta_D}{\Delta t} \\ \zeta_A - \zeta_D &= 2(\zeta_A - \zeta_M) \end{aligned}$$

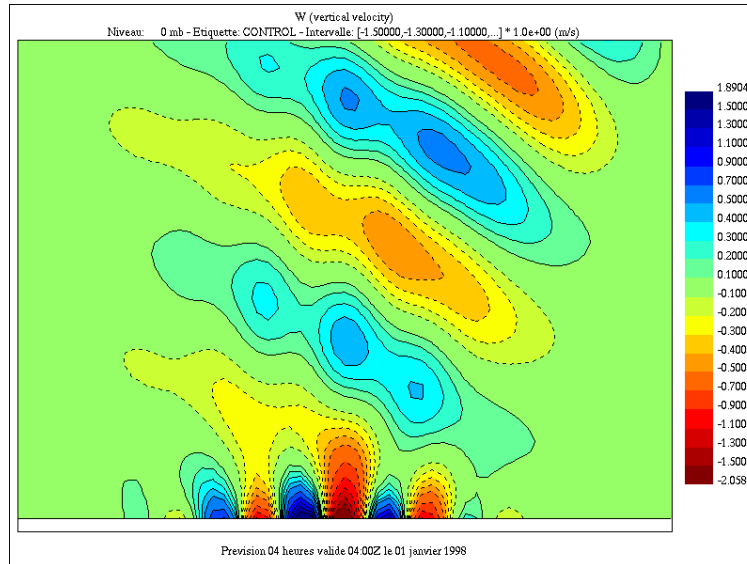
Méthode trapézoïdale

$$\frac{\zeta_A - \zeta_D}{\Delta t} = \frac{\dot{\zeta}_A^+ + \dot{\zeta}_D^-}{2}$$

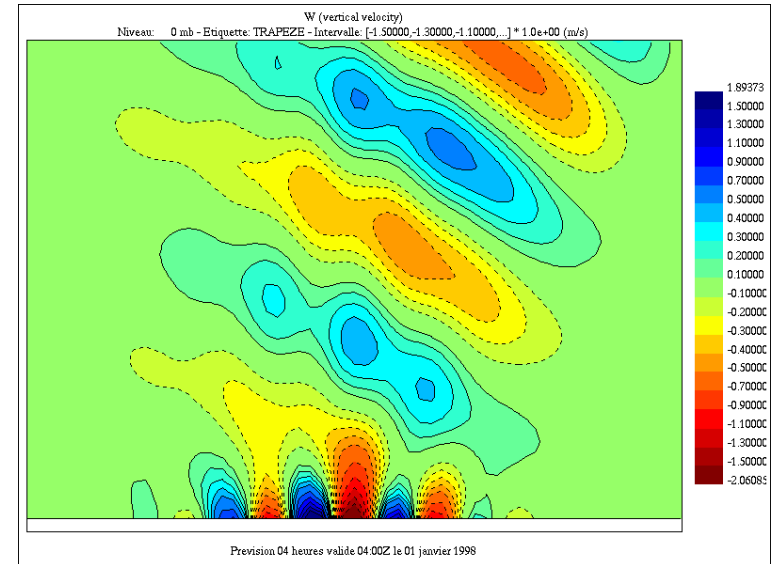
# L'onde de 'Schär'

## Calcul des trajectoires

### Règle du Point Milieu



### Méthode Trapézoïdale



méthodes équivalentes



## Discretisation SLI

$$\frac{\Gamma_A^+ - \Gamma_D^-}{\Delta t} - \kappa \frac{\zeta_A^+ + \zeta_D^-}{2} = 0$$

### Calcul SLI

$$\begin{aligned} \Gamma_D^- &= \Gamma^-(\zeta_D) = \Gamma^-(\zeta_A - \Delta t \dot{\zeta}) \quad \text{oubliant l'horizontale} \\ &= \Gamma^-(\zeta_A) - \Delta t \dot{\zeta} \frac{\partial \Gamma}{\partial \zeta} + \dots \end{aligned}$$

$$\frac{\Gamma_A^+ - \Gamma_A^-}{\Delta t} + \left( \dot{\zeta} \right) \frac{\partial \Gamma}{\partial \zeta} + \dots - \kappa \frac{\zeta_A^+ + \zeta_D^-}{2} = 0$$

interpolation cubique

### Calcul des trajectoires:

$$\frac{d\zeta}{dt} = \dot{\zeta}$$

Règle du point milieu

$$\frac{\zeta_A - \zeta_M}{\Delta t/2} = \frac{\dot{\zeta}_M^+ + \dot{\zeta}_M^-}{2}$$

interpolation linéaire

Méthode trapézoïdale

$$\frac{\zeta_A - \zeta_D}{\Delta t} = \frac{\dot{\zeta}_A^+ + \dot{\zeta}_D^-}{2}$$

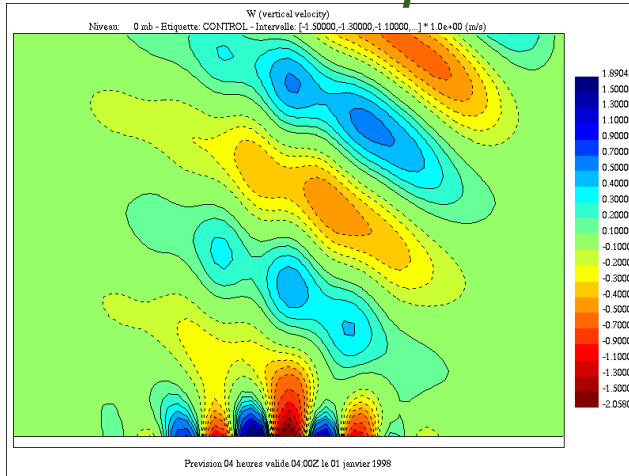
interpolation linéaire



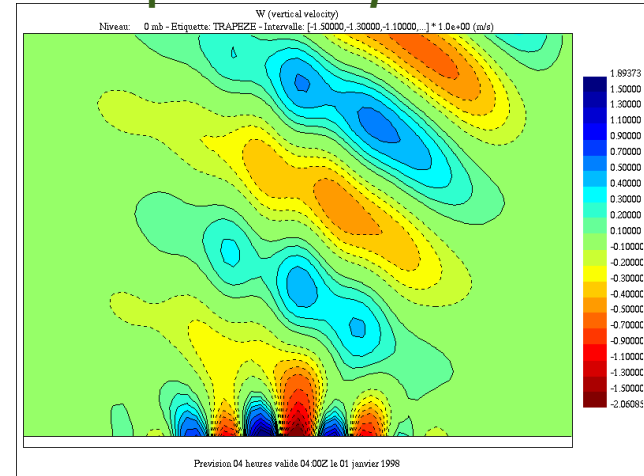
# L'onde de 'Schär'

## Calcul des trajectoires

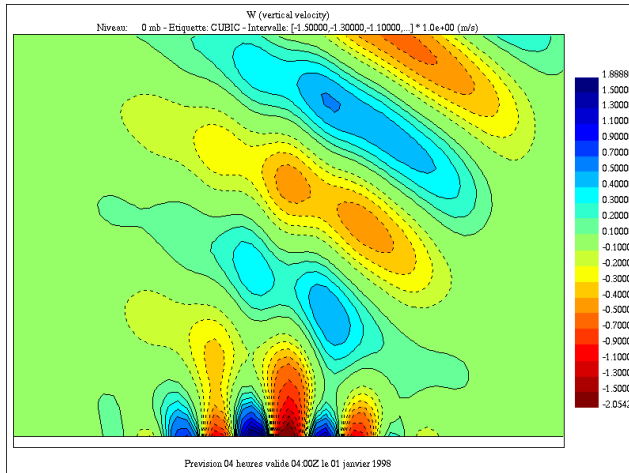
**Point Milieu / interp. linéaire**



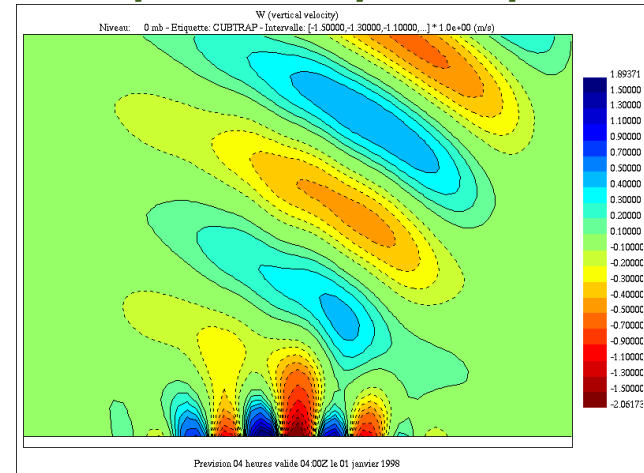
**Trapèze / interp. linéaire**



**Point Milieu / interp. cubique**



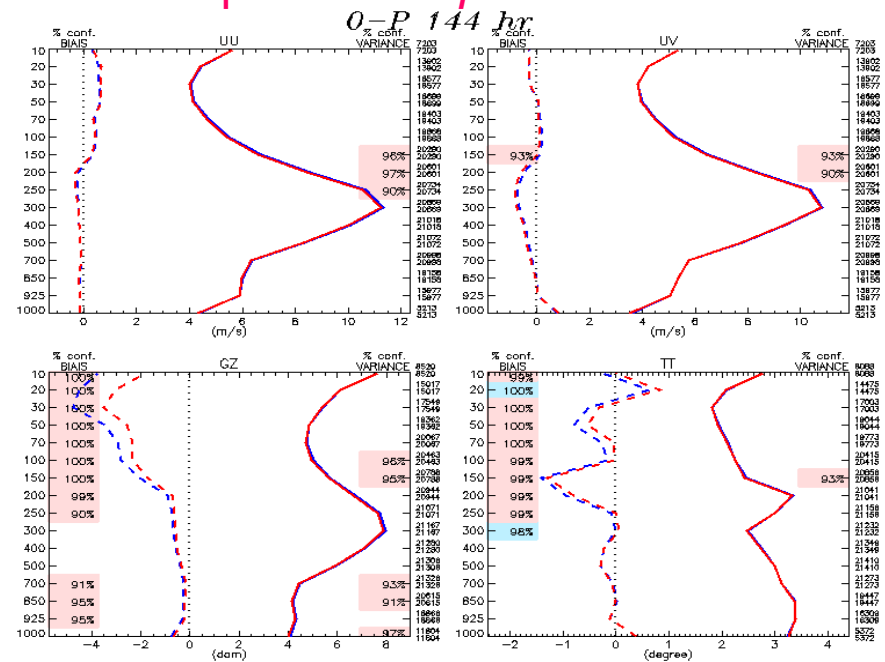
**Trapèze / interp. cubique**



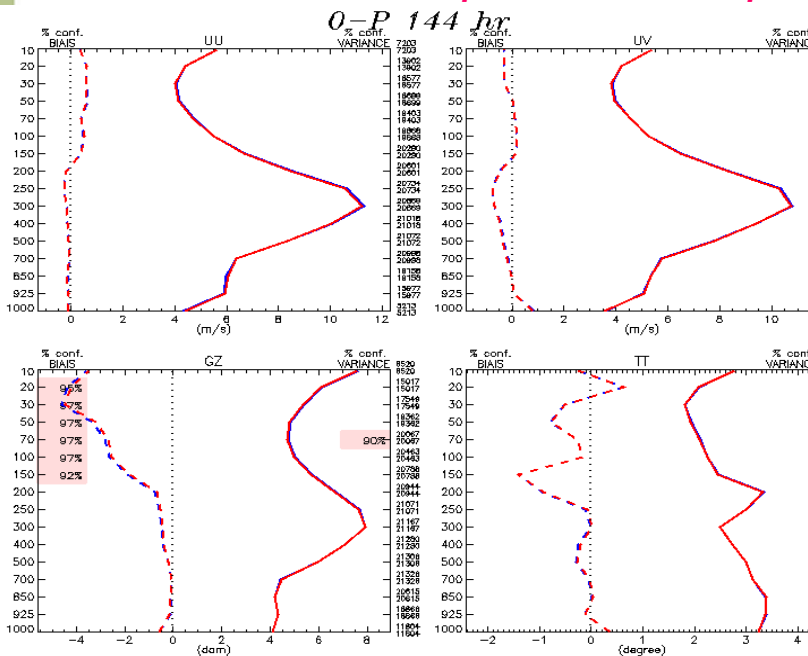
# Impact d'une inconsistance résolue

**Scores globaux**  
**44 cas d'hiver**  
**Prévisions de 6 jours**  
**Gem Yin-Yang Résolution: 15 km**  
**Calcul des trajectoires**  
**Bleu: Point Milieu / interp. linéaire**  
**Rouge: Variations (ps\_adjust)**

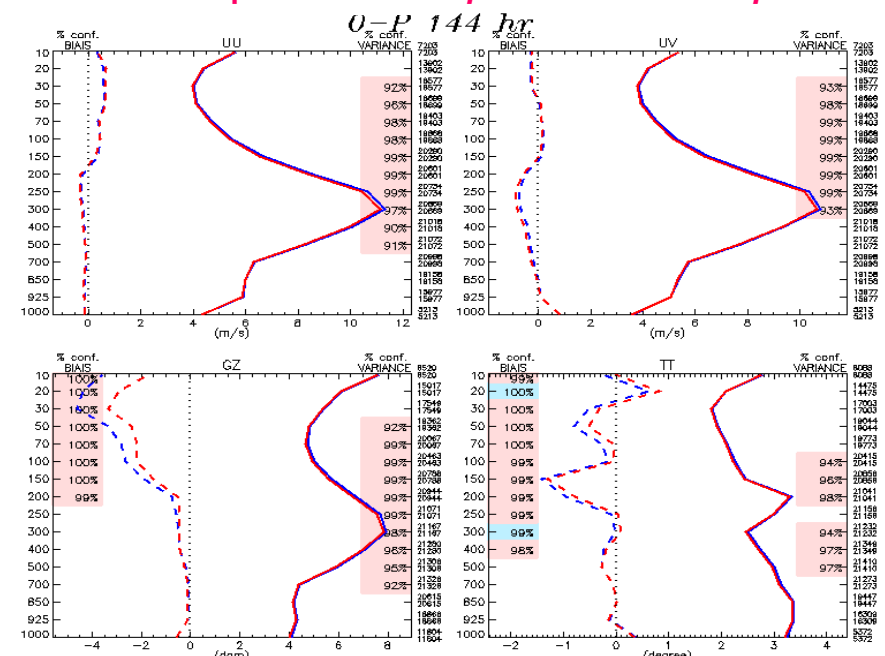
## Trapèze / interpolation linéaire



## Point Milieu / interpolation cubique



## Trapèze / interpolation cubique



# résumé & conclusion

---

## Ici, on a vu que:

La solution de l'onde de 'Schär' convergeait trop lentement lorsqu'on diminuait  $\Delta t$

Un système d'équations numériques est inconsistant lorsque la solution ne converge **pas ou mal** vers la vraie solution.

Plusieurs éléments étaient nécessaires à la convergence:

stabilité

- + même méthode de moyennage: trapézoïdale
- + même ordre d'interpolation: cubique
- + absence de décentrage

L'impact pour GEM, un modèle complexe, cependant toujours avec décentrage,

**n'est pas aussi négligeable qu'attendu!**

**Il est plutôt positif en fait!**

